

段丘地形における常時微動の観測

信州大学工学部 正員 ○鳥 坦
正員 泉谷 英男

1. まえがき

長野県南部を走る中央構造線の両側には天竜川流域に発達した段丘地形が数多くみられる。その中で松川沿いあるいは周辺に発達した飯田盆地を中心に常時微動の観測を行なない、段丘地形の地表構造との関連について調査を行なった。

段丘地形の生成については扇状地形における河川の侵食作用あるいは断層による等の理由があげられているが、飯田盆地においてこれらの段丘は地質時代の歴史的過程を経て変化し、極めて複雑に分布している。段丘地形の標高は約400～600mの範囲で、それより高いところでは花崗岩が露出していることが多い。この基岩上にある段丘形成の地層については古くから層序についての調査がなされていて、主として砂、粘土、疊層より成っている。常時微動の測定から得られる地下構造の推定においては地質学的調査との対応についても考慮する必要がある。

2. 微動のスペクトル分類

飯田盆地における常時微動の観測点は88点選んで行なったが、測定の範囲は $05^{\circ}23'15'' \sim 05^{\circ}33'N$, $137^{\circ}45' \sim 137^{\circ}51'E$ (東西13.5km, 南北18.0km)で、ほゞ飯田市、上郷町、鼎町を含む地域である。

常時微動の観測には周期1秒の地震計を用い、速度記録からスペクトルを求めた。いまより易くするためにスペクトルの形を分類して地域的な分布を調べてみた。図1に代表的な例として地点No.4大堤田地、No.43文化会館、No.29佐々木水引KK、No.13鹿児島石油油槽所のスペクトルを示す。I型、II型、III型、IV型とした。横軸には振動数0～50/sの範囲で、縦軸はデシベルで表示した。比較的振動数の大きいところにピークがあらわれる場合をI型、振動数の大きいところに2つある場合は3つのピークがあらわれるスペクトルをII型、全体に振幅分布が一様なスペクトルをIII型、低振動数にピークがあらわれるスペクトルをIV型とした。すべての観測点で図1のようにはっきり区別できるわけではなく、その中のスペクトルもみられたが、4つの型にともれなくみられた。このような分類に従ってスペクトル型を地図上にプロットしてみたのが図2である。この地形図は $15''$ のメッシュで刻んで点の標高の値を比例配分して等高線を40mごとに図化したものである。

飯田盆地は天竜川の西側に発達しているが、松川を境んで北側及び南側に段丘地形を形成し、都市部をなししている。図2の中の観測点No.96の少し東側に天竜峡があるが、それより南側では段丘地形はない。これまでの地質調査の結果から

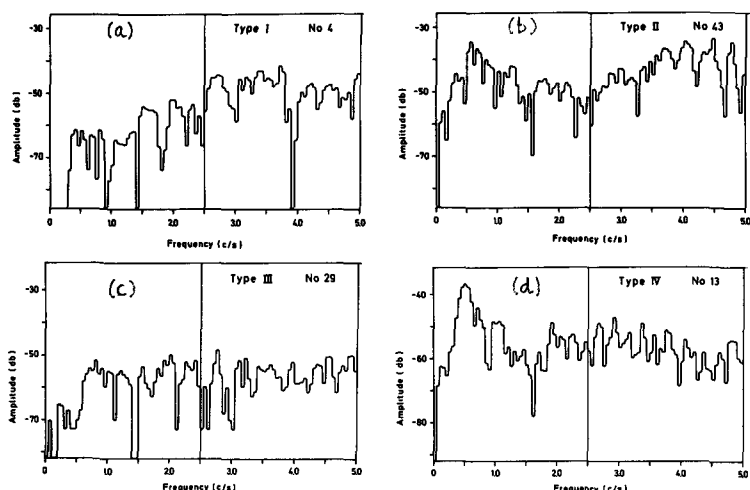


図1. 常時微動のスペクトル形による分類

いくつかの断層の存在が明らかになつてゐるが、あわせて図上に示してある。

図2のスペクトル分類から概略すると次のようになる。

i) 松川が天竜川に注ぐ地域にはほんらん原を形成しているが、その地域ではスペクトル型はⅢ型かⅣ型が多い。

ii) 標高450m以上の天竜川西側の段丘地形では松川を境として南北両側でスペクトル型が異なり、北側ではⅠ型が多く、南側はⅡ型が多い。

iii) 北面部の山地と南部の山地と比較すると前者ではⅠ、Ⅱ型が多いのに比べて後者ではⅢ、Ⅳ型が多い。

今回行なつた調査では観測点は全体的に密に分布していないので、いまでのところ確定的ではないとは言えないが、一つの傾向を示していると言うことができよう。

3. 地形解析

さきに現地形についてスペクトル分類を述べてみたが、段丘地形をもう少し明瞭に表現できないかという試みで数値的解析を行なつた。図2の大線の範囲すなわち $35^{\circ}25' \sim 35^{\circ}33' N$, $137^{\circ}45' \sim 137^{\circ}53' E$ について $15''$ ごとに読み取れた標高の値について $Z = a + bx + cy$ (Z : 高さ, x, y : 東西、南北方向の座標) であらわされるような一次式の平面を最少二乗法で求める。次に地図上の読み取り値 Z_0 との偏差 $\Delta Z = Z_0 - Z$ を求め、40m毎に等偏差曲線を画いたのが図3である。なお偏差の部分は大線で示してある。基準の一次面の等高線も100m毎に点線であわせて付加してある。このようないくつかの操作を施した理由は地形を考えると普通平衡面が水平であるという潜在的な意識をもつてゐるものと考えられるが、むしろ平衡面は一次、あるいは高次の面と考えてその面からの偏差を議論してみてはどうかといふことである。もつとも簡単な表現は一次の傾斜面といふことであるが、目標とする範囲について計算を試みた。その理由は図2の中でも南側の部分では天竜川を境として以前では段丘地形がみられないことと全域を入めて計算すると一次面の傾斜が 1° 以下となり現地形と大差がなくなる。従って対象とする地域の範囲については1次面の傾斜及び方向があり変化しない条件で最大限の範囲をとつてみた。すなはち図2の大線の範囲で計算を試み、1次面の等高線及び等偏差曲線のプロットが図3である。一次面の傾斜方向は $N124^\circ E$ 、傾斜角は 1.76° である。

図2と図3の相違は松川及び周辺の段丘地形が特に松川中流域に凹部の生じることである。これは一次面の自然勾配が生じるよりも大きな構造力以外にいく局所的な構造力の影響があると考え、このことば地下構造にも変化を生じていると思われる。一方一次面の方向及び傾斜角はとらわれない図2の南部の地形変化の大きさなど

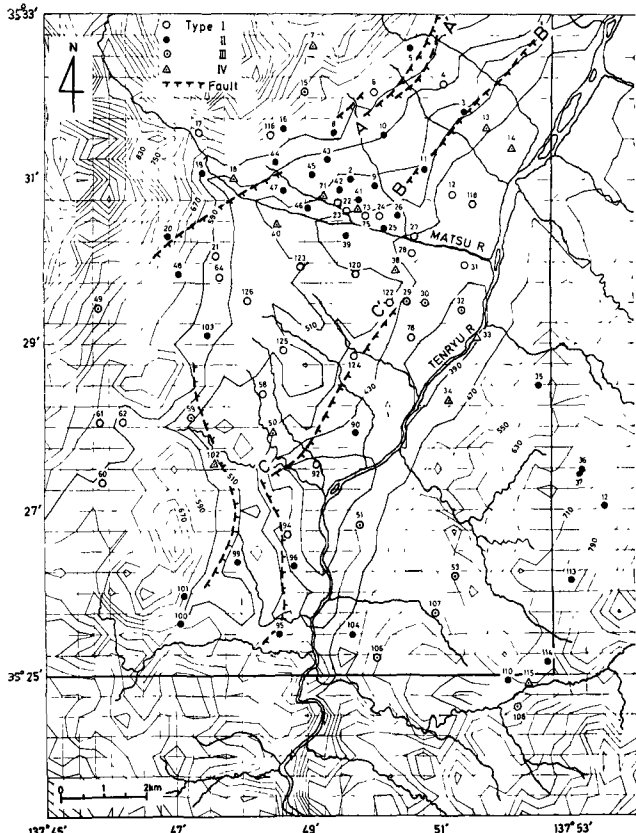


図2. 地形図ヒスペクトル型の分布

ろや北西部と南東部の急傾斜地ではこの解析によつてあまり影響をうけない。従つて図2と図3を比較すると目立つた相違はない。

いま図3のような等偏差曲線の図中にプロットしたスペクトル分類をみてみると前述のようなスペクトルの形の変化がより一層はっきりする。明らかに松川周辺をみると中流域の凹部を境として、その北側でⅡ型が多く、南側でⅠ型が多い。前者はA-A'線の断層下部にあたり、河川の侵食をうけた地域にあたる。下方側外的にⅠ型とⅣ型の観測点がみられるが、古い段丘が局部的に存在し、その地点でⅠ型を示し、一方局部的に河川の影響を強く受けたと思われる地点がⅣ型を示すという様な変化の激しい場所がある。

一方松川の南側のⅠ型の多い地域はC-C'線の普通手断層の上部にあたり、河川侵食の少ないところである。

松川と天竜川の合流点に多いⅢ型、Ⅳ型のみられる地域はほんらん原にあたり地域あるいはその付近で、このことは前述と変つこないが、更に断層との関係を言ひならば断層のB-B'、C-C'線の下部にあるための影響もあってスペクトルの型が変つたとみることもできる。

4. スペクトルと地下構造

いままで述べたスペクトルの分類ではスペクトルの形をとっても極めて定性的な説明しかできなかつた。従つて表層構造に基づいてスペクトルの形を説明する必要がある。常時微動のスペクトルの解析にあたりて、ここではSH波の重複反射理論に従つて振や分布を全井の方法で求めている。一般に卓越周期を求める場合、地表構造を議論する材料としてボーリング資料あるいは波動の観測値があるといは、それが十分ない場合、速度分布は仮定せざるを得ない。その速度分布を仮定して求めた振や一振動曲線について図1(a)(b)(c)(d)を例にして述べてみる。

スペクトルの形の分類に用いたⅠ型としてのNo.4大歳田地、Ⅱ型としてのNo.43文化会館、Ⅲ型としてのNo.29佐々木水引KK、Ⅳ型としてのNo.13座光寺石油油槽所における観測を説明するため地下構造すなはらS波の速度分布を仮定して振や分布を求めることのが図4である。一般に卓越振動数は地盤が硬ければ大きく、軟かければ小さくなるが、実際のスペクトルはかなり複雑である。特に図1(a)(b)(d)にみられるような低振動数域に異常に明瞭なスペクトル成分が得られる場合、地下構造において低速度層を考える。地表付近の層につれて粘性の影響を受けるかどうかである。これまごの観測例としては第三紀層地すべり地における常時微動のスペクトルではよくみられ、地表付近に含水層のある場合、振動数の大きい振や成分の他にここで述べるような

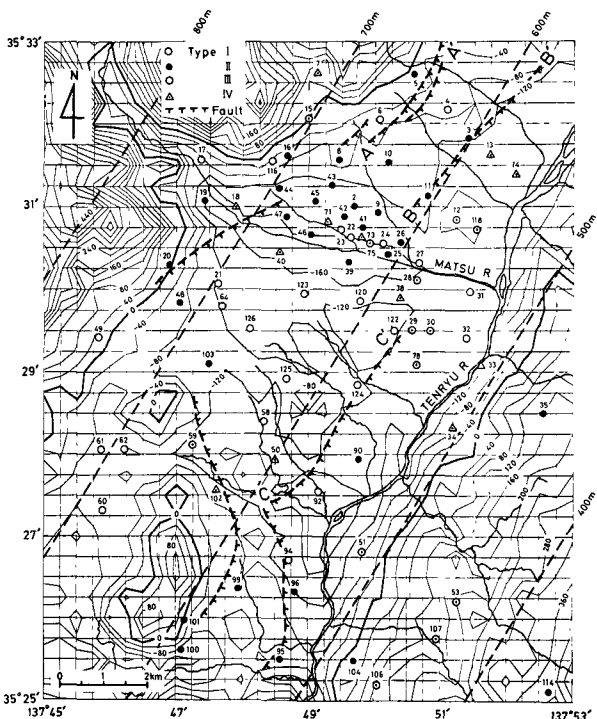


図3. 地形解析による一次面の等高線、等偏差曲線およびスペクトル型の分布

0.5~1.0 c/s の低振動数域にスペクトル振巾が大きくなつてゐる。

一方低速度層の存在を考えず、下層 $K_1 < K_2$ かつて速度値が大きくなつてゐるような成層構造は図1(C)のⅢ型の場合である。このようにスペクトルは多少の山・谷はあるが全体的に一様の形となる。もしこのように深さとともに速度が大きくなる構造の中では、比較的深いところに低速度層があると若干スペクトルの型が異なる。図1(a)のⅠ型のスペクトルでは約20mの深さに低速度層を仮定してみると振動数の大きいところに振巾が大きくなる。以上のように地下構造の速度分布に低速度層の位置を入れるとどうかスペクトルの説明に影響をもつてくる。比較的浅いところ(ほど深さ10m以内)に低速度層を考へるとそれは地下水との関係が強く、深いところ(ほど深さ20m程度)に低速度層を考へるとそれはむしろ地層の構造的原因に關係しているように思われる。このことは図2、図3に示すスペクトル型の地域的分布と対応してゐる。

5. むすび

飯田盆地のように河川侵食、あるいは断層による段丘地形の形成においては地下構造はかなり複雑であり、その結果は常時微動のスペクトルにもあらわれてゐるようと思われる。

地形については地質構造の考察も含めて行なうべきであるが、その前に段丘地形について最小二乗法による自然傾斜の除去後の地形について常時微動のスペクトルを議論するとし易い。すなまち天竜川の右岸については松川を境として北側と南側でスペクトルの型が異なるが、それは普通寺断層の形成と関連があるものと思われる。この断層は逆断層で、スペクトルのⅠ型があらわれるのは分布域では隆起域で、地下構造において低速度層が比較的下層に存在する。

松川北部では A-A'断層付近ではⅠ型がみられるが、段丘下部における松川付近ではⅡ型が多くなる。このⅡ型の説明は地下の浅いところに低速度層を仮定すればスペクトルは説明されるが、この低速度層は河川の分布からみて地下水の影響が強く作用しているようと思われる。

今後スペクトルの形と地下構造との関係については全観測地点について調べ、地下構造の地域性について更に検討をすすめ、飯田盆地の地盤特性を明らかにするとともに地震時災害想定に役立てたいと思つてゐる。

謝辞 常時微動の観測には飯田・鼎・上郷消防組合に御協力を戴き、またスペクトル解析には小野測器製作所の測器を使用させて戴きそれぞれ担当の方々に厚く御礼申し上げる。さらに計算処理については信州大学データステーションを通じて東京大学大型計算機 HITAC 8700 / 8800 を使用した。

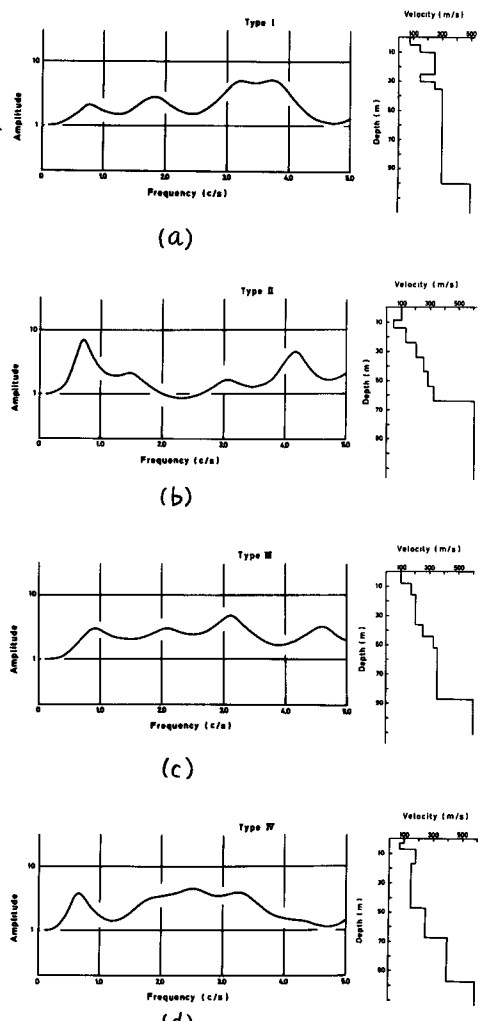


図4. SH波の重複反射による
振巾-振動数特性と地下構造